

Министерство науки и высшего образования РФ
Федеральное государственное автономное
образовательное учреждение высшего образования
«СИБИРСКИЙ ФЕДЕРАЛЬНЫЙ УНИВЕРСИТЕТ»
Институт космических и информационных технологий
Кафедра вычислительной техники

УТВЕРЖДАЮ
Заведующий кафедрой

_____ О.В.Непомнящий

« _____ » _____ 20__ г.

БАКАЛАВРСКАЯ РАБОТА

09.03.01 «Информатика и вычислительная техника»

**Разработка и исследование голосового кодека
для возможности применения в спутниковой связи**

Руководитель _____ проф., д-р техн. наук С. А. Бронов
подпись дата должность, ученая степень

Выпускник _____ П. В. Винокуров
подпись дата

Нормоконтролер _____ проф., д-р техн. наук С. А. Бронов
подпись дата должность, ученая степень

Красноярск 2022

Министерство науки и высшего образования РФ
Федеральное государственное автономное
образовательное учреждение высшего образования
«СИБИРСКИЙ ФЕДЕРАЛЬНЫЙ УНИВЕРСИТЕТ»
Институт космических и информационных технологий
Кафедра вычислительной техники

УТВЕРЖДАЮ
Заведующий кафедрой

_____ О. В. Непомнящий

« ____ » _____ 20 ____ г.

ЗАДАНИЕ
НА ВЫПУСКНУЮ КВАЛИФИКАЦИОННУЮ РАБОТУ
в форме бакалаврской работы

Студенту _____ Винокурову Павлу Владимировичу
Фамилия, имя, отчество

Группа _____ КИ18-07Б _____ Направление _____ 09.03.01
номер код

_____ Информатика и вычислительная техника
наименование

Тема выпускной квалификационной работы

Разработка и исследование голосового кодека для возможности применения в спутниковой связи

Утверждена приказом по университету № _____ от _____

Руководитель ВКР С. А. Бронов, канд. д-р техн. наук, профессор, руководи-
инициалы, фамилия, должность, учёное звание, место работы

тель НУЛ САПР каф. ВТ ИКИТ СФУ _____

Исходные данные для ВКР

Методические указания руководителя ВКР, публикации по теме работы.

Перечень разделов ВКР

Анализ предметной области, постановка задачи исследования, выбор методов исследования и инструментальных средств, разработка алгоритмов и их программная реализация, тестирование разработанной системы.

Перечень графического материала

Слайды презентации с математическими моделями, схемами алгоритмов и результатами работы разработанной системы.

Руководитель ВКР _____ С. А. Бронов
подпись

Задание принял к исполнению _____ П. В. Винокуров
подпись

« _____ » _____ 20 _____ г.

РЕФЕРАТ

Выпускная квалификационная работа на тему «Разработка и исследование голосового кодека для возможности применения в спутниковой связи» выполнен в научно-учебной лаборатории систем автоматизированного проектирования кафедры вычислительной техники института космических и информационных технологий Сибирского федерального университета.

АДИКМ, КОДЕК, СЖАТИЕ ЗВУКА

Объект исследования — процесс изучения проприетарного алгоритма кодирования звука ADPCM XAS.

Предмет исследования — алгоритм сжатия (кодирования) звука ADPCM EA XAS.

Объект разработки — кодировщик ADPCM EA XAS.

Цель работы — Анализ имеющегося алгоритма кодирования ADPCM EA XAS, написание кодировщика для него, анализ рациональности применения этого кодека для использования в системе спутниковой голосовой связи.

Результаты выполненной работы предполагается использовать для модификации файлов игр, использующих этот аудиокодек, а также возможно в системах спутниковой связи.

СОДЕРЖАНИЕ

Введение	4
1 Анализ задания на выпускную квалификационную работу	6
1.1 Имеющиеся средства работы с кодеком.....	6
1.2 Разработка технического задания на кодер/декодер ADPCM XAS.....	6
2 Написание декодера	8
2.1 Структура данных	9
1.3 Алгоритм декодирования	10
3 Написание кодировщика	16
4 Изучение свойств полученного кодека, с целью возможного применения в системах спутниковой связи	19
4.1 Особенности спутниковой связи	19
4.2 Исследование потерь при кодировании.....	20
4.3 Исследование влияния ошибки на закодированный сигнал.....	24
4.4 Преимущества и недостатки кодека.....	26
Заключение	28
Список использованных источников	29
ПРИЛОЖЕНИЕ А Программный код: EA ADPCM codec.h.....	30
ПРИЛОЖЕНИЕ Б Программный код: EA_ADPCM_DLL.h.....	33
ПРИЛОЖЕНИЕ В Программный код: EA-ADPCM-codec.cpp	35

ВВЕДЕНИЕ

Актуальность. Одной стороны в среде энтузиастов есть интерес к модификации звуковых файлов для игр от разработчика Electronic Arts, использовавших проприетарную звуковую библиотеку с проприетарными форматами и проприетарными кодеками. Форматы были изучены достаточно, чтобы осуществить замену звуковых данных, но для кодеков были написаны только декодеры, что не позволяет вставить свой звук в файл игры.

С другой стороны, в системах спутниковой связи есть потребность в уплотнении канала связи, с использованием сжатия, в связи с чем была поставлена задача изучить рациональность применения данного аудио кодека в этой области.

Объект исследования — процесс изучения проприетарного алгоритма кодирования звука ADPCM EA XAS.

Предмет исследования — алгоритм сжатия (кодирования) звука ADPCM EA XAS.

Объект разработки — кодер/декодер ADPCM EA XAS.

Цель работы — Анализ имеющегося алгоритма кодирования ADPCM EA XAS, написание кодировщика для него, анализ рациональности применения этого кодека для использования в системе спутниковой голосовой связи.

Задачи работы:

- 1) Анализ имеющегося алгоритма декодирования ADPCM EA XAS и написание своего.
- 2) Анализ имеющегося в бинарном виде кодировщика для схожего алгоритма;
- 3) Написание кодировщика ADPCM XAS;

4) Изучение свойств получившегося кодека, с целью возможного применения в системах спутниковой связи.

Методы, инструментальные средства и технологии разработки. В качестве инструментального программного обеспечения использованы следующие программы:

- IDA (Interactive Disassembler) [2] — дизассемблер/отладчик для изучения программ в бинарном виде.

- Microsoft Visual Studio - Интерактивная среда разработки на языке C++.

Значение для практики заключается в том, что данный кодер/декодер можно будет использовать для работы с файлами игры и возможно в системах спутниковой связи.

1 Анализ задания на выпускную квалификационную работу

1.1 Имеющиеся средства работы с кодеком

Для алгоритма ADPCM EA XAS существуют следующие декодеры: ffmpeg с открытым исходным кодом и различные проприетарные программы от разработчика кодека, где он применяется. ADPCM EA XAS не имеет кодировщиков, его предстоит разработать. В файлах игр имеются образцы закодированного звука.

ADPCM XAS имеет предшественника — кодек ADPCM XA-R2, декодер для которого также есть в ffmpeg[3], а также есть проприетарный кодер от разработчика кодека.

Название кодека	Образцы закодированного звука (от разработчика)	Декодер с открытым исходным кодом	Проприетарный кодер
ADPCM XA-R2	+	+	+
ADPCM XAS	+	+	-

1.2 Разработка технического задания на кодер/декодер ADPCM XAS

Кодер/декодер должен представлять из себя библиотеку на языке C++ реализующую следующий интерфейс:

-Расчёт размера закодированной информации –

```
uint32_t GetXASEncodedSize(uint32_t n_samples_per_channel, uint32_t n_channels)
```

- Кодирование звука -

```
void encode_XAS(void* out_XAS, const int16_t* in_PCM, uint32_t  
n_samples_per_channel, uint32_t n_channels);
```

Исходный формат — ИКМ (PCM) 16 бит целые со знаком, в случае многоканального звука выборки из каждого канала смешиваются по очереди.

Выходной формат — Последовательность закодированных в XAS блоков (chunk) по 76 байт каждый, в случае многоканального звука блоки для каждого канала чередуются.

- Декодирование звука -

```
void decode_XAS(const void* in_XAS, int16_t* out_PCM, uint32_t  
n_samples_per_channel, uint32_t n_channels);
```

Исходный и выходной форматы идентичный случаю кодирования, но наоборот.

Кодек должен удовлетворять следующим требованиям:

- При декодировании и кодировании вновь закодированные данные должны быть идентичны исходным.

2 Написание декодера

Код из ffmpeg:

```
static const int16_t ea_adpcm_table[] = {
    0, 240, 460, 392,
    0,  0, -208, -220,
    0,  1,  3,  4,
    7,  8, 10, 11,
    0, -1, -3, -4
};
...
CASE(ADPCM_EA_XAS,
    for (int channel = 0; channel < channels; channel++) {
        int coeff[2][4], shift[4];
        int16_t *s = samples_p[channel];
        for (int n = 0; n < 4; n++, s += 32) {
            int val = sign_extend(bytestream2_get_le16u(&gb), 16);
            for (int i = 0; i < 2; i++)
                coeff[i][n] = ea_adpcm_table[(val & 0x0F) + 4 * i];
            s[0] = val & ~0x0F;

            val = sign_extend(bytestream2_get_le16u(&gb), 16);
            shift[n] = 20 - (val & 0x0F);
            s[1] = val & ~0x0F;
        }

        for (int m = 2; m < 32; m += 2) {
            s = &samples_p[channel][m];
            for (int n = 0; n < 4; n++, s += 32) {
                int level, pred;
                int byte = bytestream2_get_byteu(&gb);

                level = sign_extend(byte >> 4, 4) * (1 << shift[n]);
                pred = s[-1] * coeff[0][n] + s[-2] * coeff[1][n];
                s[0] = av_clip_int16((level + pred + 0x80) >> 8);

                level = sign_extend(byte, 4) * (1 << shift[n]);
                pred = s[0] * coeff[0][n] + s[-1] * coeff[1][n];
                s[1] = av_clip_int16((level + pred + 0x80) >> 8);
            }
        }
    }
)/* End of CASE */
```

Похоже, что код был написан путем поверхностного анализа дизассемблированного кода какого-то исполняемого файла. Из этого кода трудно понять принцип работы кодека XAS, этот код нужно проанализировать и переписать.

Из названия кодека понятно, что он использует принцип Адаптивной Дифференциальной Импульсно-Кодовой Модуляции [4, 5] (АДИКМ, ADPCM)

2.1 Структура данных

Сперва нужно установить структуру блоков сжатых данных. Проанализировав код выше, можно определить следующую структуру: Каждый блок (chunk) состоит из четырех подблоков (subchunk), каждый подблок состоит из заголовка (XAS_SubChunkHeader - 4 байта) и 15 байт данных (XAS_data). Итого каждый блок занимает 76 байт. Заголовки каждого подблока чередуются, байты данных каждого подблока чередуются, как видно из дизассемблированного кода — это сделано для оптимизаций под векторные SIMD инструкции MMX и SSE.

```
punpcklwd mm1, mm0
punpckhwd mm2, mm3
movq    mm3, mm1
movq    mm0, mm2
pslld   mm0, 4
pslld   mm1, 4
pand    mm2, qword ptr [ebp-30h]
pand    mm3, qword ptr [ebp-30h]
cvtpi2ps xmm0, mm2
cvtpi2ps xmm1, mm0
movlhps xmm0, xmm0
movlhps xmm1, xmm1
cvtpi2ps xmm0, mm3
cvtpi2ps xmm1, mm1
movaps  xmm5, xmm6
mulps   xmm0, xmmword ptr [ebp-50h]
mulps   xmm5, xmmword ptr [ebp-60h]
mulps   xmm7, xmmword ptr [ebp-40h]
```

Рисунок 1 – Фрагмент дизассемблированного кода игры.

Опишем это следующим образом:

```
const int subchunks_in_XAS_chunk = 4;
struct XAS_Chunk {
    XAS_SubChunkHeader headers[subchunks_in_XAS_chunk];
    byte XAS_data[15][subchunks_in_XAS_chunk];
};
```

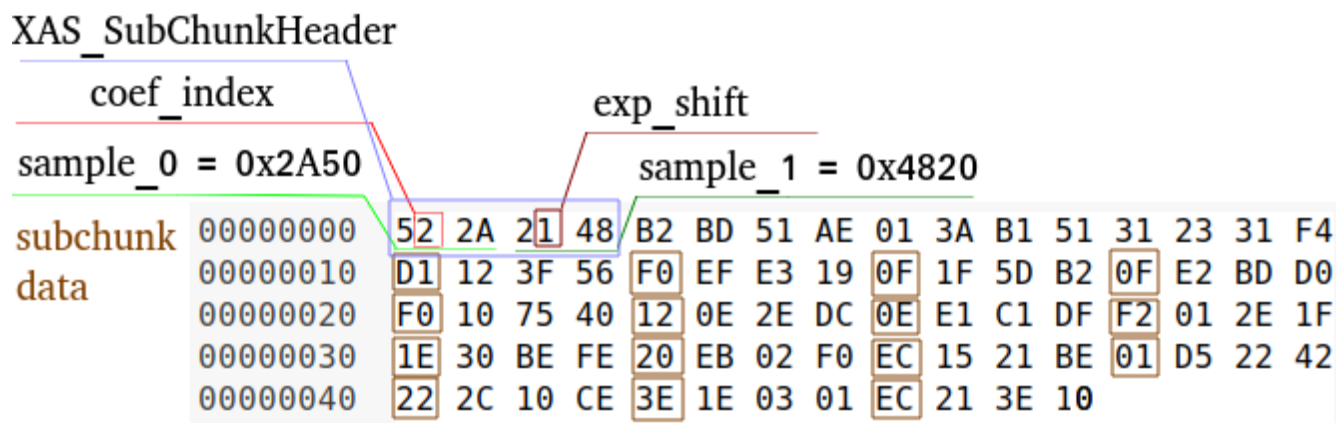
Заголовок подблока описывает первую выборку (sample_0, 12 бит), модель предсказания (coef_index, 4 бита), вторую выборку (sample_1, 12 бит), экспоненту (exp_shift, 4 бита).

```

struct XAS_SubChunkHeader {
    unsigned coef_index : 2;
    unsigned unused : 2;
    signed sample_0 : 12;
    unsigned exp_shift : 4;
    signed sample_1 : 12;
};

```

Каждый байт данных подблока содержит 2 по 4 бита коррекции ошибки



предсказания.

Рисунок 2 — Структура XAS блока

2.1 Алгоритм декодирования

1) Для каждого подблока берется 2 выборки, описанные в заголовке, присваиваем их в пред предыдущую (`prev_prev_sample`) и предыдущую (`prev_sample`) соответственно и расширенные до 16 бит со знаком, сохраняем их в поток как декодированные.

2) Выбираем 2 коэффициента (0 и 1) из таблицы (`ea_adpcm_table`) по номеру модели предсказания.

3) Коэффициент 1 умножаем на пред предыдущую выборку, коэффициент 0 умножаем на предыдущую выборку, складываем два результата, получаем предсказанную выборку (`prediction`).

4) Берем следующие 4 бита из данных подблока, интерпретируем как целое со знаком, умножаем на $2^{(12 - \text{exp_shift})}$, получаем коррекцию ошибки (correction), эту операцию сделаем через битовый сдвиг.

5) Складываем предсказанную выборку с коррекцией ошибки,

6) Округляем до целого, усекаем полученное число до 16 бит со знаком, это будет декодированная выборка.

7) Сохраняем декодированную выборку в поток, перед предыдущей выборке присваиваем предыдущую, предыдущей присваиваем декодированную.

8) Повторяем шаги 3-7 для каждых 4-х бит из данных подблока (ещё 29 раз).

9) Повторяем шаги выше для каждого подблока.

10) Повторяем шаги выше для каждого блока.

Таблицу `ea_adpcm_table` возьмем из дизассемблированного кода NFSCarbon-v1.4.

```
.rdata:00A04330 ea_adpcm_table dd 0.0 ; DATA XREF: decode_EA_XAS+8B↑  
.rdata:00A04334 ; float flt_A04334[]  
.rdata:00A04334 flt_A04334 dd 0.0 ; DATA XREF: decode_EA_XAS+98↑  
.rdata:00A04338 dd 0.9375  
.rdata:00A0433C dd 0.0  
.rdata:00A04340 dd 1.796875  
.rdata:00A04344 dd -0.8125  
.rdata:00A04348 dd 1.53125  
.rdata:00A0434C dd -0.859375
```

Рисунок 3 – Таблица из дизассемблированного кода

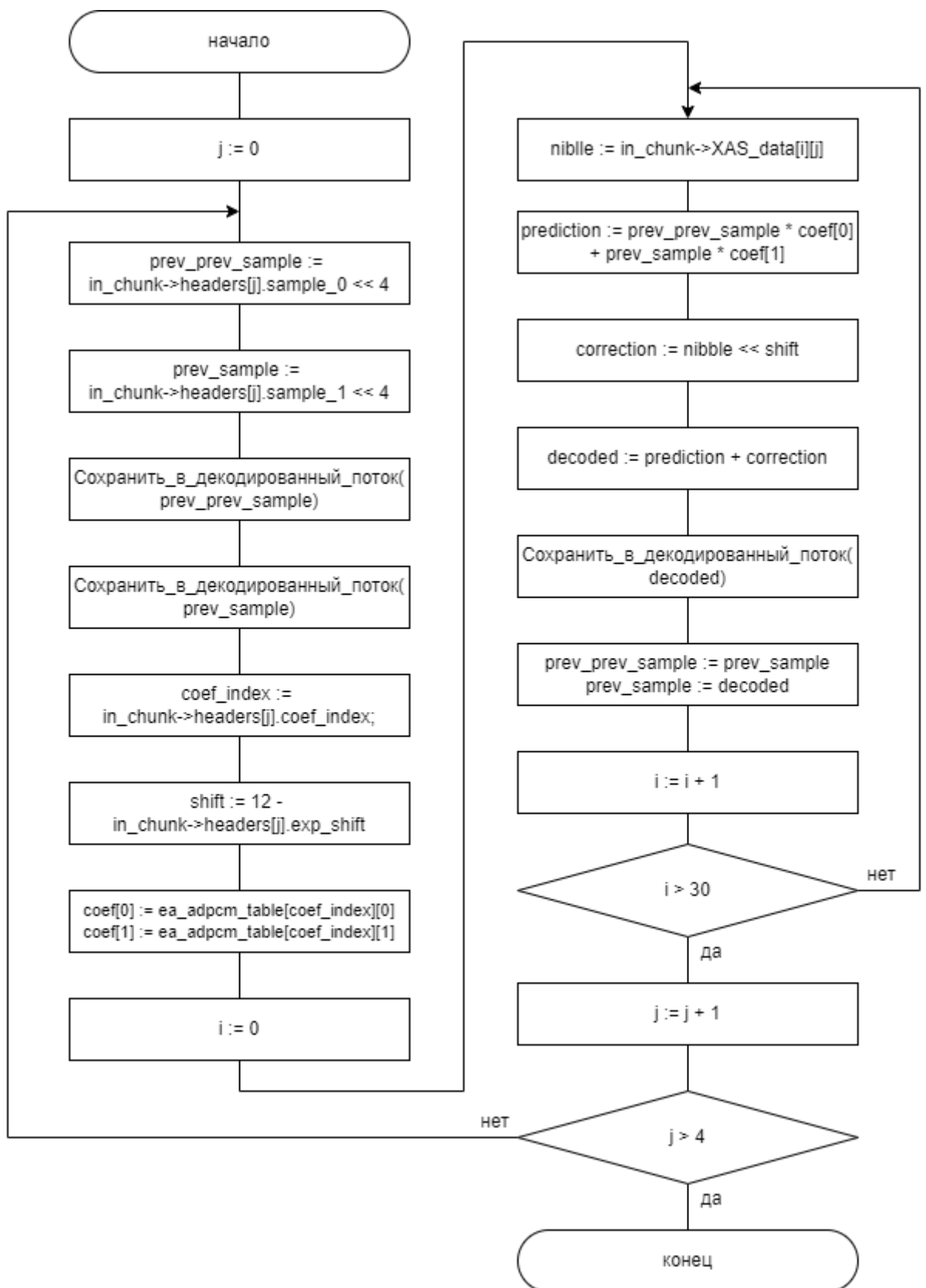


Рисунок 4 — Блок-схема алгоритма декодирования.

Продemonстрируем работу алгоритма на примере с подблоком, представленным на рисунке 2.

- 1) $\text{prev_prev_sample} = 2A50_{16} = 10832_{10}$
 $\text{prev_sample} = 4820_{16} = 18464_{10}$
- 2) $\text{coef}[2] = \{1.796875, -0.8125\}$
 $\text{shift} = 12 - 1 = 11$
- 3) $\text{prediction} = 18464 * 1.796875 + 10832 * (-0.8125) = 24376,5$
- 4) $\text{correction} = -3 * 2^{11} = -6144$
- 5, 6) $\text{decoded} = \text{Clip_int16}(4461,75 + (-6144)) = \text{Clip_int16}(18232,5) = 18233$

Внесем некоторые улучшения в алгоритм:

- 1) Чтобы алгоритм мог эффективно работать на процессорах не имеющих модуля вычислений с плавающей точкой, домножим коэффициенты из таблицы `ea_adpcm_table` на $2^{\text{fixed_point_offset}}$, где `fixed_point_offset` некоторое целое число, например 8, и преобразуем их в целые, а перед выполнением шага 6 поделим результат на $2^{\text{fixed_point_offset}}$ (реализуем через битовый сдвиг), для округления до целого перед этим прибавим $2^{\text{fixed_point_offset}-1}$, таким образом мы переходим от вычислений с плавающей точкой к вычислениям с фиксированной точкой. Выполнив домножение коэффициентов на 2^8 , можно заметить, что числа из таблицы стали соответствовать числам из таблицы из кода `ffmpreg`.

- 2) Вынесем шаги 3-6 в отдельную функцию.

- 3) Предыдущие декодированные выборки будем брать из потока, а не из переменных.

Получаем следующий код для декодирования одного блока на языке C++:

```
const int def_bias_compens = (fixp_exponent >> 1);
inline int16_t decode_XA_sample(const int16_t prev_samples[2], const int coef[2], char
int4, byte shift, int bias_compens = def_bias_compens) {
    int correction = (int)int4 << shift;
    int prediction = prev_samples[1] * coef[0] + prev_samples[0] * coef[1] + bias_com-
pens;
    return Clip_int16((prediction + correction) >> fixed_point_offset);
}

void decode_XAS_Chunk(const XAS_Chunk* in_chunk, int16_t* out_PCM) {
    for (int j = 0; j < subchunks_in_XAS_chunk; j++) {
        int16_t *pSamples = out_PCM + j * 32;

        pSamples[0] = (in_chunk->headers[j].sample_0 << 4) + shift4_compens_bias;
        int coef_index = in_chunk->headers[j].coef_index;
```

```

pSamples[1] = (in_chunk->headers[j].sample_1 << 4) + shift4_compens_bias;
byte shift = 12 + fixed_point_offset - in_chunk->headers[j].exp_shift;

const int* coef = ea_adpcm_table_v2[coef_index];

for (int i = 0; i < 15; i++, pSamples += 2) {
    SamplesByte data = *(SamplesByte*)&(in_chunk->XAS_data[i][j]);

    pSamples[2] = decode_XA_sample(pSamples, coef, data.sample0, shift);
    pSamples[3] = decode_XA_sample(pSamples + 1, coef, data.sample1,
shift);
}
}
}

```

Посмотрим, насколько точны предсказания и сравним простым использованием предыдущей выборки вместо предсказания т.е. если бы использовалось предсказание с коэффициентами $\{1, 0\}$.

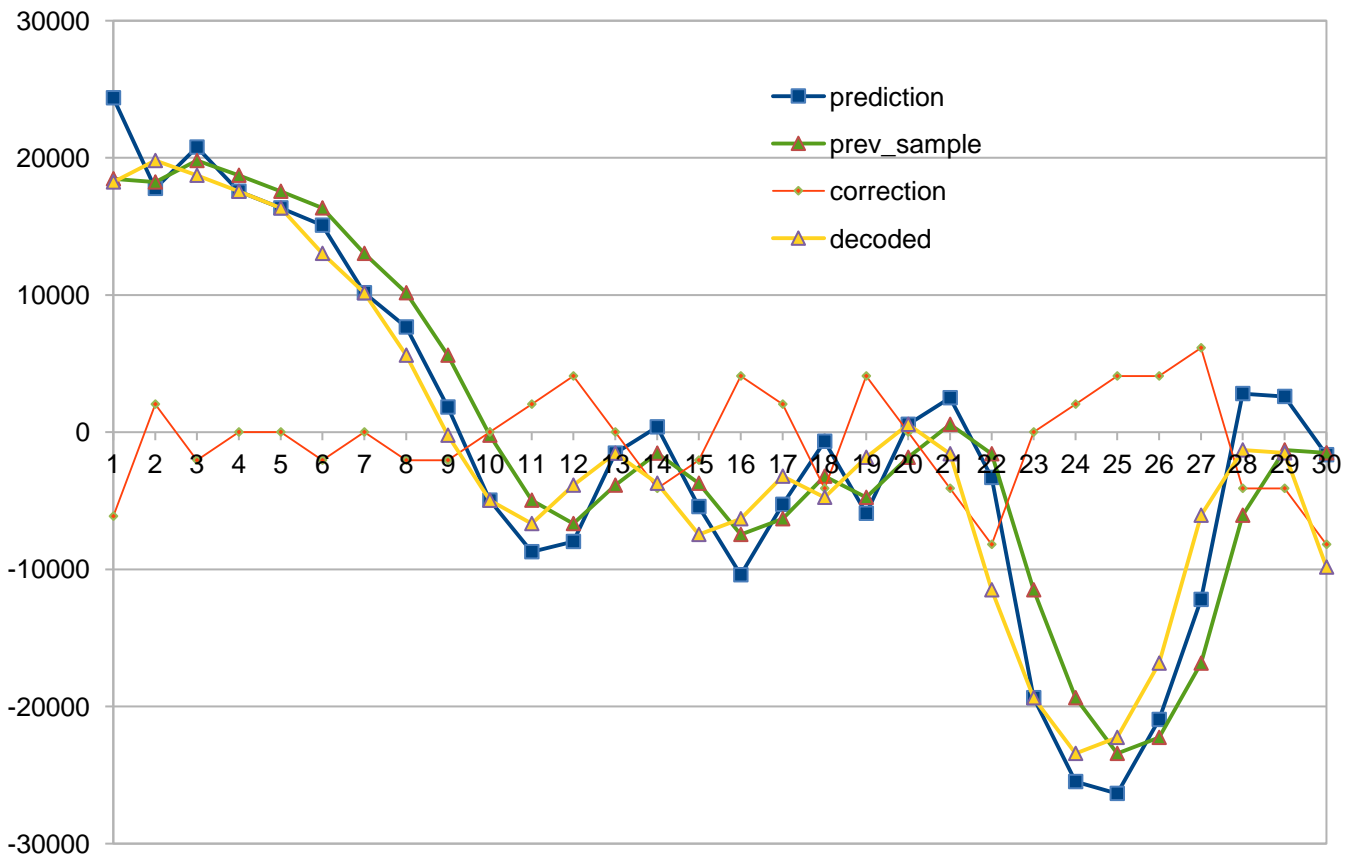


Рисунок 5 – Сравнение предсказаний

Остается тривиальная задача – написать функцию decode_XAS, где остается только правильно смешивать каналы.

3 Написание кодировщика

Для того, чтобы кодировать звук, нужно написать проделывать шаги, обратные декодированию, однако возникает трудность: как выбрать `coef_index` и `exp_shift`?

Чтобы выбрать наилучшую модель предсказания, переберем все 4, и узнаем, какая дает наименьшую максимальную ошибку в подблоке.

```
int min_max_error = INT_MAX;
int s_min_max_error = INT_MAX;
int best_coef_ind = 0;
for (int coef_ind = 0; coef_ind < num_coefs; coef_ind++) {
    int16_t prevSamples[2] = { in_prevSamples[0], in_prevSamples[1] };
    int max_error = 0;
    int s_max_error = 0;
    for (int i = 0; i < num_samples; i++) {
        int prediction = ea_adpcm_table_v2[coef_ind][0] * prevSamples[1] +
ea_adpcm_table_v2[coef_ind][1] * prevSamples[0];
        int sample = pSamples[i];
        sample <<= fixed_point_offset;
        int s_error = sample - prediction;
        int error = abs(s_error);
        if (error > max_error) {
            max_error = error;
            s_max_error = s_error;
        }
        prevSamples[0] = prevSamples[1];
        prevSamples[1] = pSamples[i];
    }
    if (max_error < min_max_error) {
        min_max_error = max_error;
        best_coef_ind = coef_ind;
        s_min_max_error = s_max_error;
    }
}
```

Стоит заметить, что для вычисления предсказания используются оригинальные выборки, которые будут отличаться от декодированных, следовательно, значения ошибок будут отличаться.

Выбираем экспоненту для максимальной ошибки в подблоке:

```
int max_min_error_i16 = Clip_int16(min_max_error >> fixed_point_offset);
int mask = 0x4000;
int exp_shift;
for (exp_shift = 0; exp_shift < 12; exp_shift++) {
    if (((mask >> 3) + max_min_error_i16) & mask) != 0) {
        break;
    }
    mask >>= 1;
}
```

После нахождения `coef_index` и `exp_shift`, можно делать тоже, что и при декодировании, но в обратном порядке:

```
int prediction = pDecodedSamples[1] * coef[0] + pDecodedSamples[0] * coef[1];
int correction = (sample << fixed_point_offset) + def_bias_compens - prediction;
int res = Clip_int4(correction >> shift);
```

Стоит помнить, что при декодировании предсказания будут вычисляться из декодированных ранее выборок, потому стоит иметь отдельный поток для декодированных обратно выборок, а первые 2 выборки усечь до 12 бит.

```
int predecoded = ((res << shift) + prediction + def_bias_compens) >> fixed_point_offset;
int decoded = Clip_int16(predecoded);
```

Однако можно уменьшить потери, если вспомнить что выборки при декодировании усекаются до 16-и бит, то можно намеренно выходить за максимальное значение 32767 или минимальное -32768, пример показан на рисунке 6, очевидно, что значение `INT16_MAX` ближе к оригинальной выборке, чем значение, вычисленное при `res = 3`, поэтому лучше взять значение больше.



Рисунок 6 – Пример уменьшения потери

Учтём это в коде:

```
int term = 1 << (shift - fixed_point_offset);
int decoded2;
if (res != 7 && abs(decoded - sample) > abs((decoded2 = Clip_int16(predecoded + term)) -
sample)) {
    res += 1;
    decoded = decoded2;
}
else if (res != -8 && abs(decoded - sample) > abs((decoded2 = Clip_int16(predecoded -
term)) - sample)) {
    res -= 1;
    decoded = decoded2;
}
```

Чтобы не считать декодированных выборки заново для $res + 1$ и $res - 1$, добавим переменную `term` – единицу, сдвинутую на экспоненту.

Чтобы не переполнить 4-х битную переменную, проверяем, не достигла ли она уже максимального значения.

Анализ закодированных образцов звука показывает, что разработчик кодека тоже это учитывал.

Повторяем алгоритм для каждой выборки, каждого подблока и каждого блока.

4 Изучение свойств полученного кодека, с целью возможного применения в системах спутниковой связи

4.1 Особенности спутниковой связи

Наиболее распространенные спутники связи – спутники на геостационарной орбите.

Геостационарная орбита — это круговая орбита над экватором Земли, угловая скорость вращения на которой равна угловой скорости вращения Земли. При этом получается, что спутник почти неподвижен, относительно Земли [6].

Радиус геостационарной орбиты — 42 164 км, высота — 35 786 км.

Здесь и далее под спутниковой связью будет подразумеваться связь через спутник на геостационарной орбите.

Разделив высоту орбиты на скорость света получим задержку передачи сигнала примерно в 0.11937 с. Однако, 35 786 км — это только расстояние от спутника до точки на экваторе, над которой он висит, и чем дальше приемник/передатчик находится от спутника, тем больше будет расстояние и больше задержка сигнала. Например — ближайшее расстояние от Красноярска до геостационарной орбиты составляет 38 954 км, время прохождения сигнала 0,1299 с.

Спутник является не конечным получателем сигнала, а ретранслятором его на Землю, поэтому передача сигнала от одной наземной станции до другой через спутник займет 0.24 с, а минимальное время получения ответа около 0.48 с.

Еще одна особенность спутниковой связи — высокий уровень атмосферных помех, причем чем дальше от точки стояния спутника находится станция, тем больше атмосферы нужно пройти сигналу и тем большее будет помех. На уровень помех также влияют погодные явления. Это одна из причин, по которой в спутниковой связи используется цифровой сигнал, а для уменьшения ошибки используется помехозащищенное кодирование.

И наконец количество каналов на спутнике ограничено, поэтому рационально через один радиоканал передавать данные для нескольких абонентов с разделением по времени, при этом разные абоненты используют разные временные слоты (интервалы) для передачи.

4.2 Исследование потерь при кодировании

В данном исследовании участвовал образец звукового эффекта с разной частотой дискретизации.

Возьмем звуковой эффект с частотой дискретизации 44100 Гц.

Ощутимы на слух искажений после кодирования не замечено.

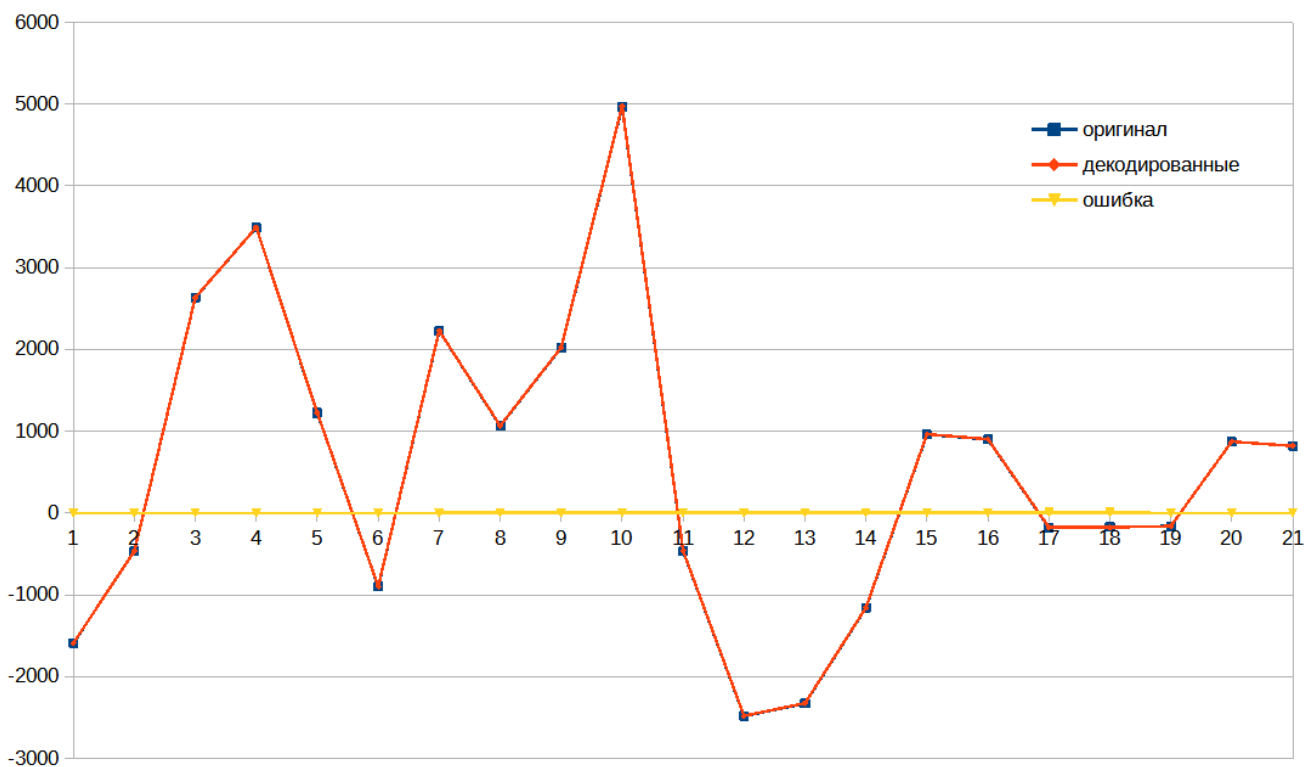


Рисунок 7 – Случайное место в звуковом эффекте

Наибольшая абсолютная ошибка — 2048 (22,45%)

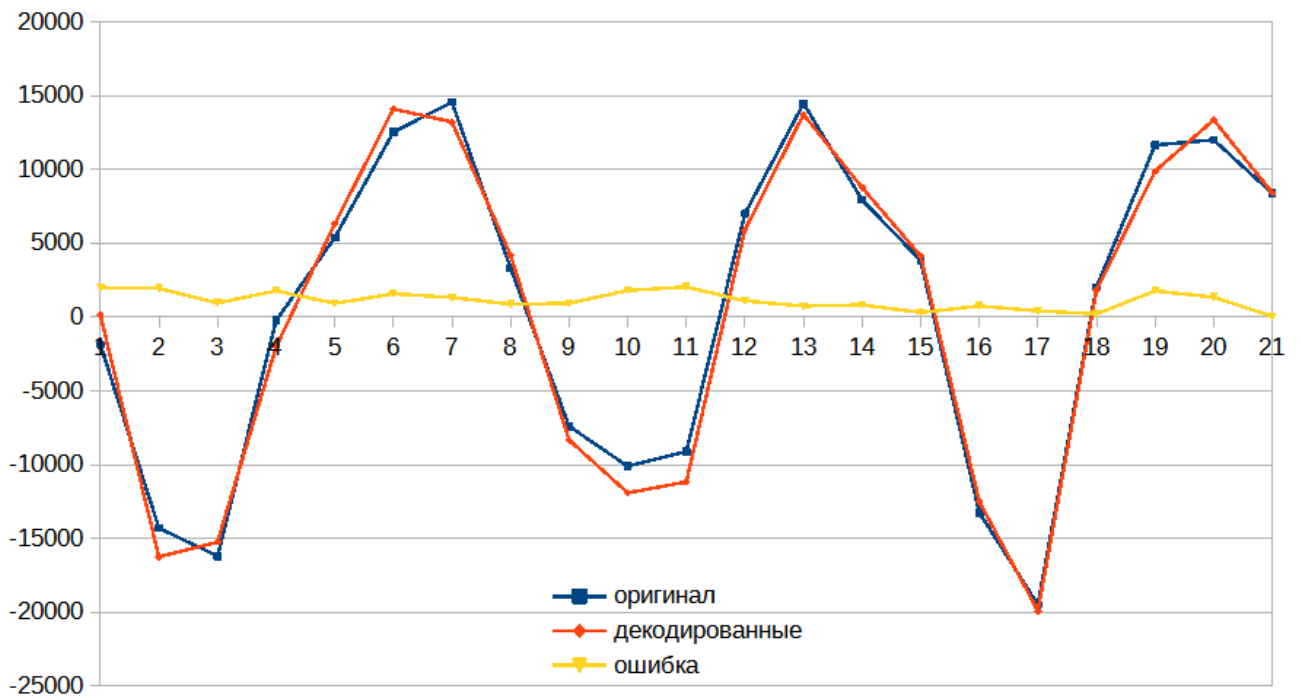


Рисунок 8 – Окрестности выборки с наибольшей абсолютной ошибкой
 Среднеквадратичное отклонение — 357,14

Передескретизируем этот звук на 22020 Гц.

Качество звука несколько упало, в сравнении с 44100 Гц.

Искажения после кодирования/декодирования нет ощутимых искажений звука.

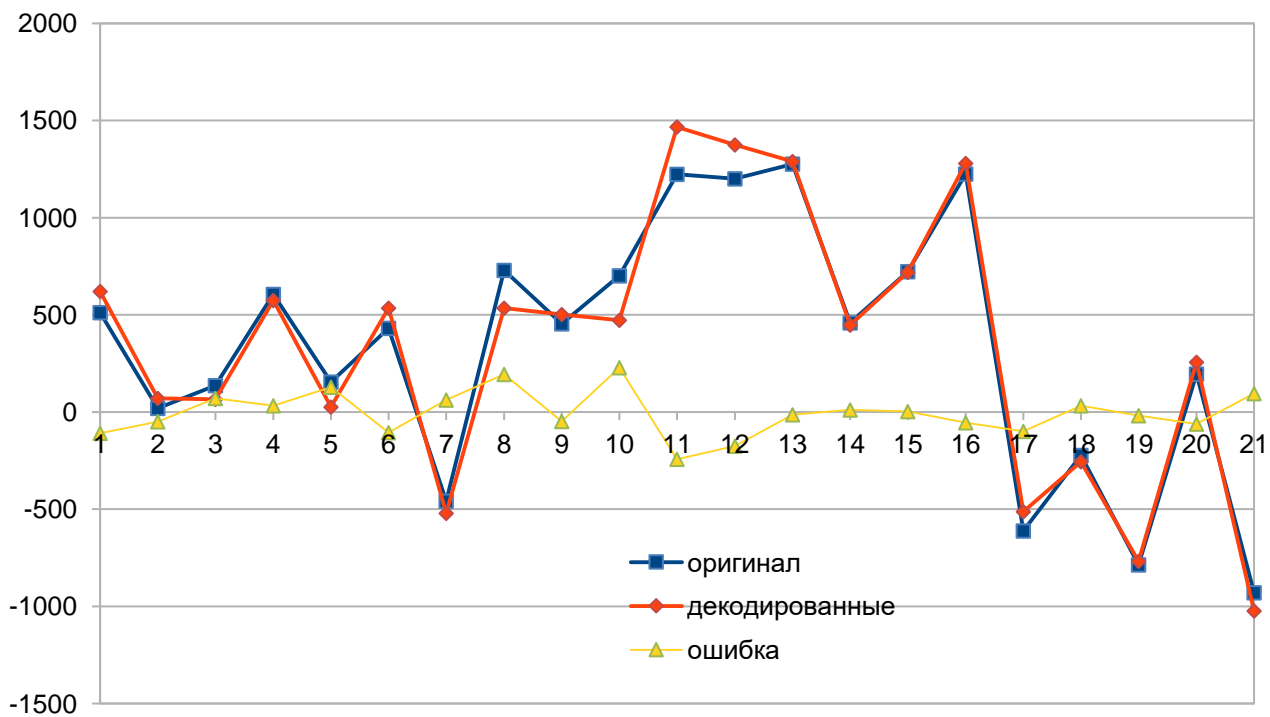


Рисунок 9 — Случайное место.

Наибольшая абсолютная ошибка — 2048 (33.3%)

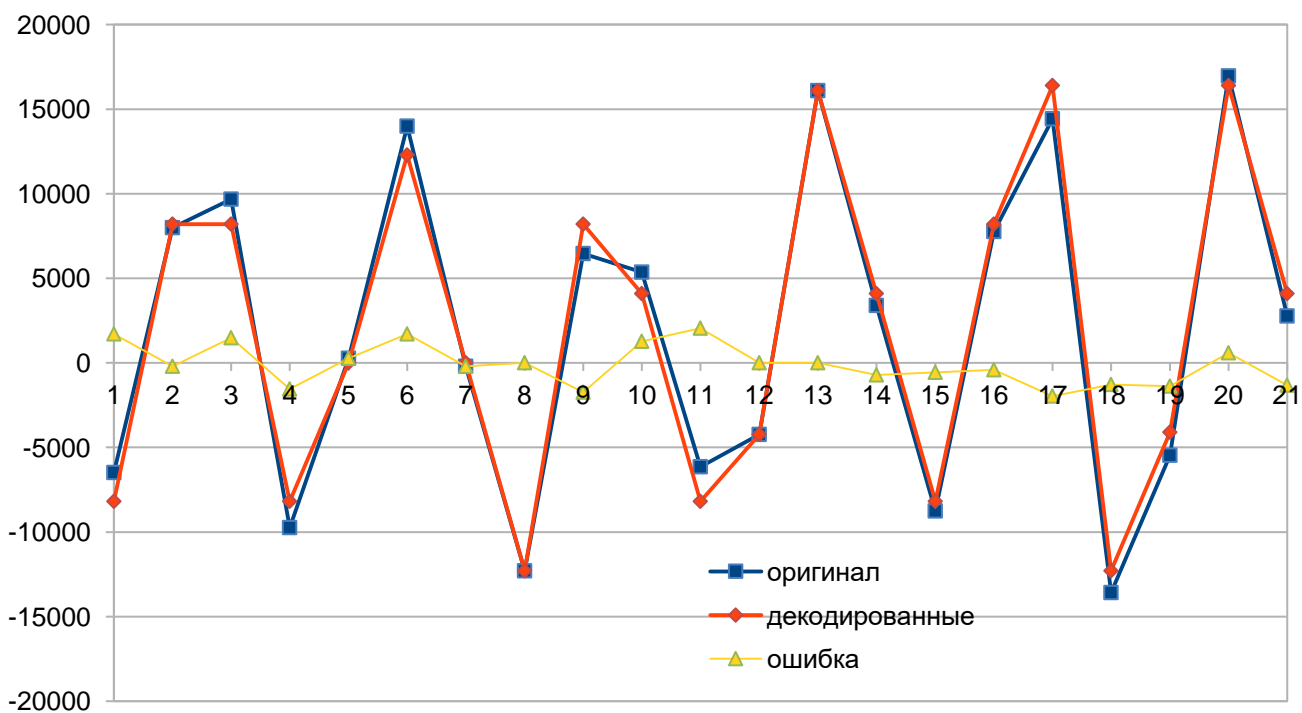


Рисунок 10 — Окрестности выборки с наибольшей абсолютной ошибкой

Среднеквадратичное отклонение — 337.2

Передискретизируем звуковой эффект на 8000 Гц

Качество звука заметно снизилось, но кодек не внес ощутимых искажений.

Наибольшая абсолютная ошибка — 2048 (33.3%)

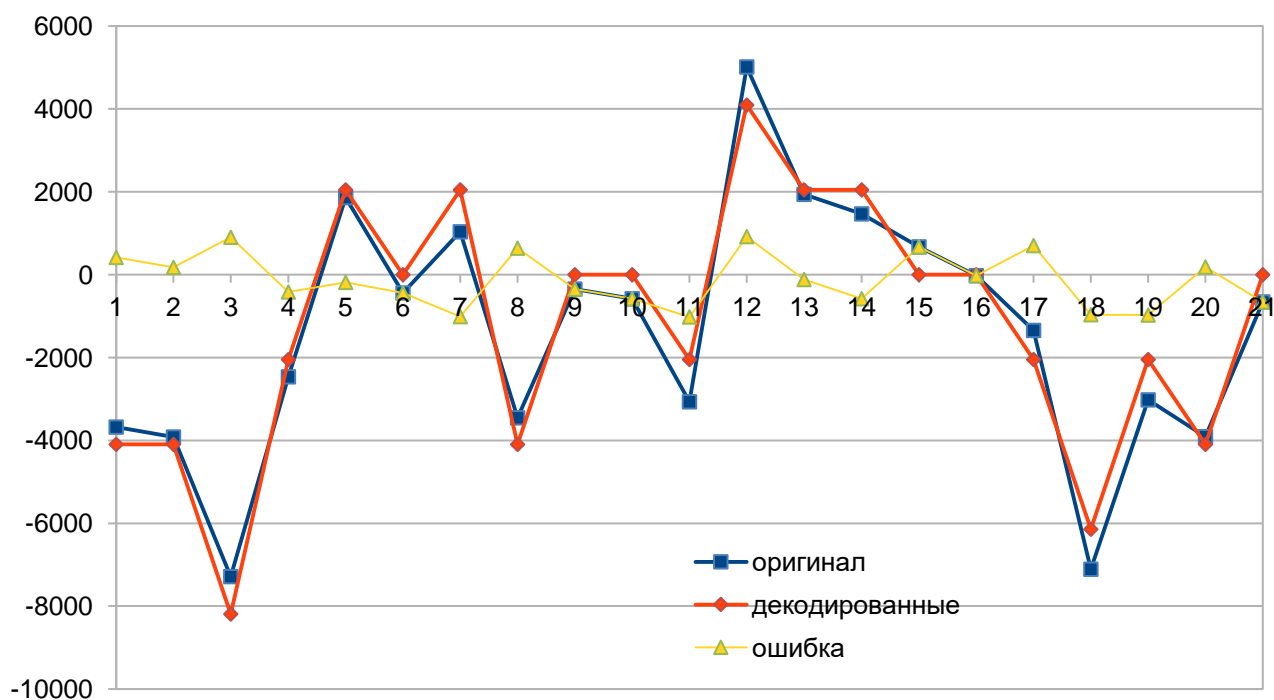


Рисунок 11 — Окрестности выборки с наибольшей абсолютной ошибкой

Среднеквадратичное отклонение — 183.6

Частота дискретизации, Гц	Наибольшая ошибка	СКО
44100	2048 (22,45%)	357,14
22050	2048 (33.3%)	337.2
8000	2048 (33.3%)	183.6

4.3 Исследование влияния ошибки на закодированный сигнал

Исходные данные: блок закодированных данных.

Вносились изменения вручную, в 1 бит подблока закодированных данных (19 байт, 152 бита, 32 выборки)

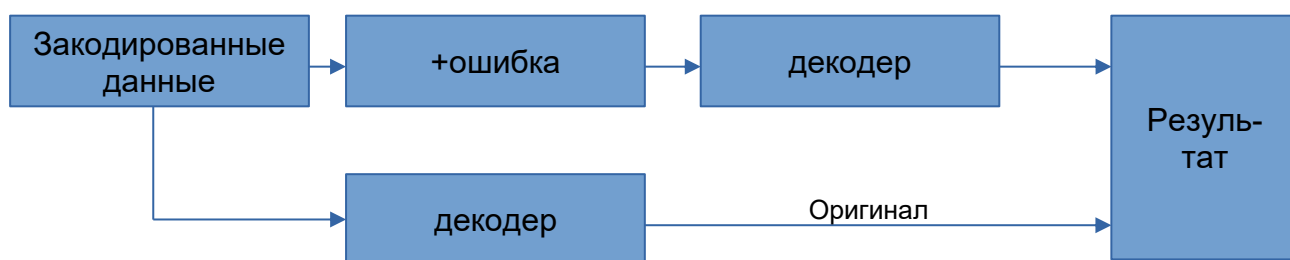


Рисунок 12 – Схема эксперимента

В следующие участки:

Заголовок:

а) незакодированные выборки (`sample_0`, `sample_1`) — старшие биты

а0) Первую (`sample_0`)

а1) Вторую (`sample_1`)

б) модель предсказания (`coef_index`)

в) экспоненту (`exp_shift`) - старший бит

Данные:

г) Первая закодированная выборка - старший бит

В одном подблоке каждая следующая выборка зависит от предыдущей, поэтому ошибка в одной выборке распространяется на последующие

Результат:

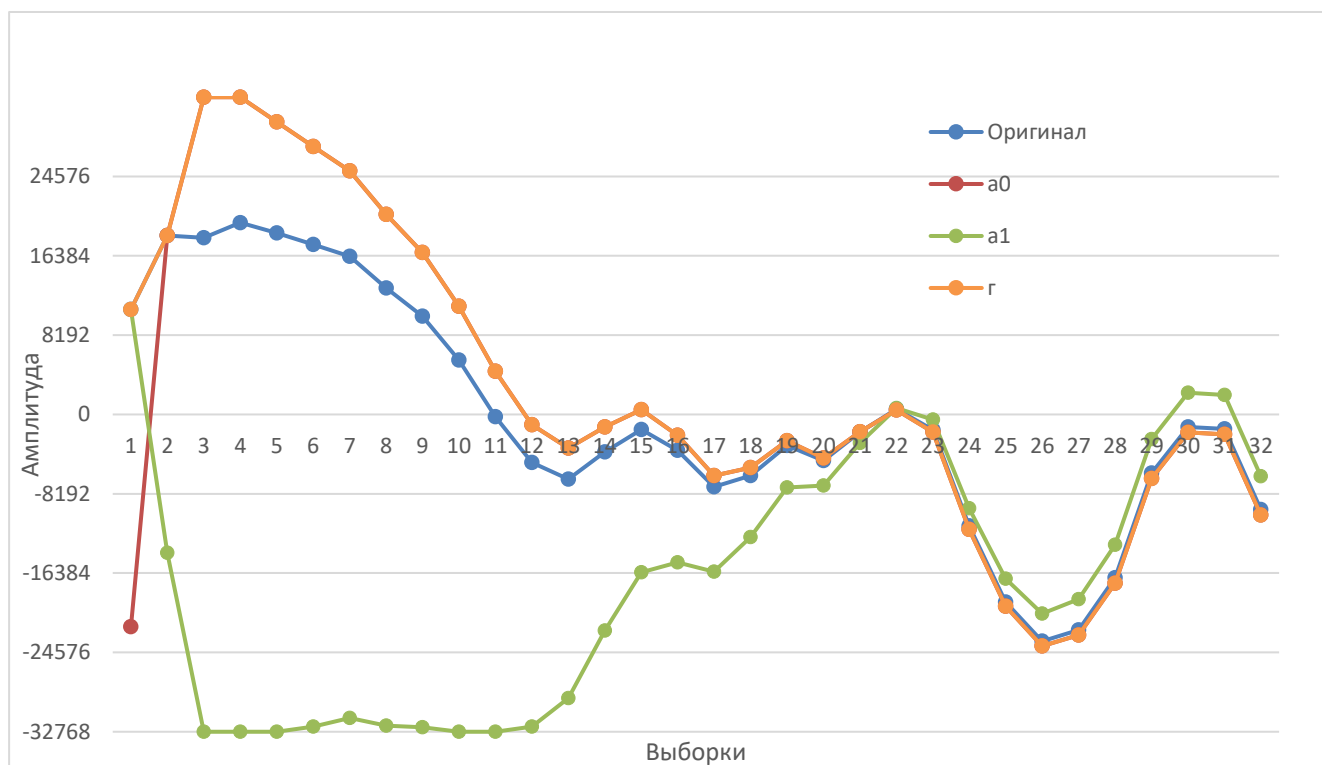


Рисунок 13 – Результат экспериментов а и г

В случаях а и г можно наблюдать уменьшение ошибки. В обоих случаях ошибка вносилась в выборки, поэтому результаты оказались похожи.

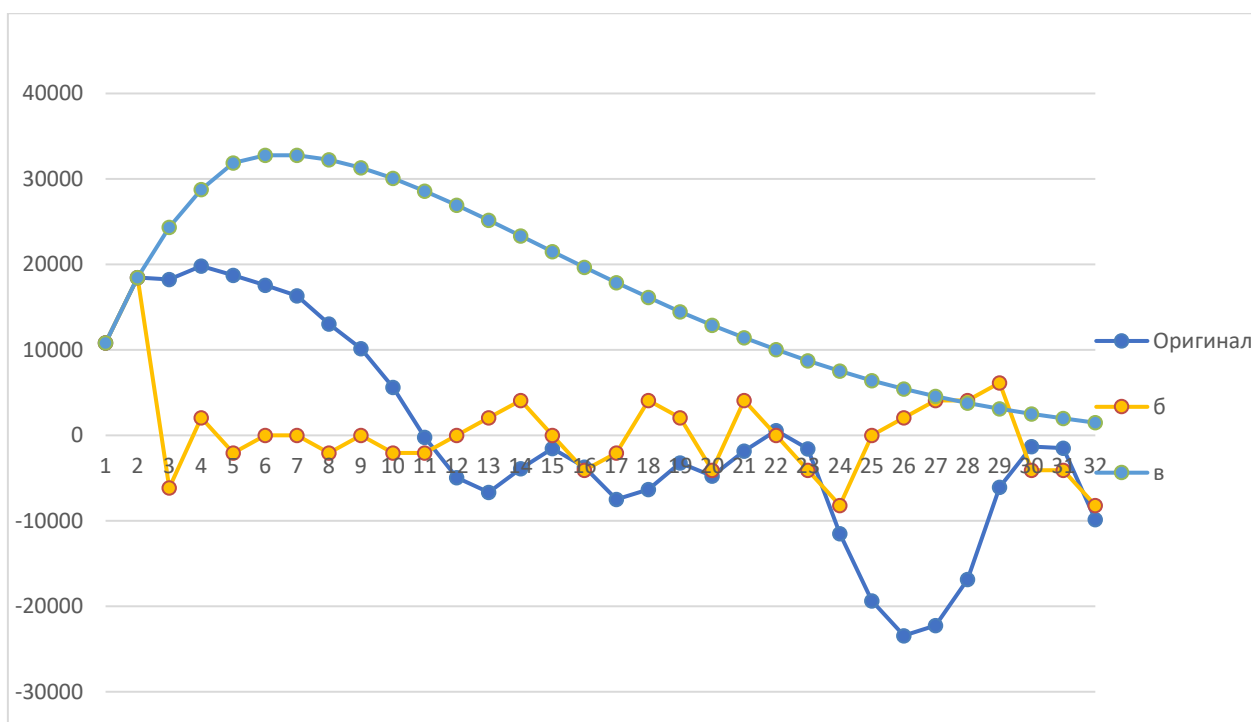


Рисунок 14 – Результат экспериментов б и в

б) Отражение волны с искажением

в) При декодировании использовалось практически только предсказание

Из результатов можно сделать вывод о том, что в случае повреждения выборок возможно самовосстановление, наиболее уязвимы к повреждению 6 бит из 152-х.

4.4 Преимущества и недостатки кодека

К преимуществам кодека можно отнести

- Быстроту кодирования/декодирования — на декодирование одной выборки нужно произвести 2 операции умножения, 3-4 операции сложения, 1-2 операции сдвига.

- Возможность оптимизации с помощью параллелизма, в то числе с помощью векторных SIMD инструкций.

- Постоянная степень сжатия, вне зависимости от поступивших данных, что является преимуществом в системах связи, однако может являться недостатком при ином применении, потому как не обеспечивает постоянного качества и соответственно не может использоваться для сжатия без потерь.

К недостаткам кодека можно отнести:

- Для кодирования модели предсказания достаточно 2-х бит, хотя зарезервировано 4 бита

- Перемешивание данных в блоке укрупняет блок, что может являться недостатком если нужно передать количество выборок менее 128. Так же это ограничивает декодирование блока по мере его получения.

ЗАКЛЮЧЕНИЕ

В проведенной работы был получен кодер/декодер ADPCM EA XAS, подходящий для вставок звуков в файлы игр, использующих данный кодек.

Можно сделать вывод, что кодек применим в системах спутниковой связи, если имеется необходимость и возможность ускорения кодирования/декодирования с помощью SIMD инструкций.

СПИСОК ИСПОЛЬЗОВАННЫХ ИСТОЧНИКОВ

1. СТО 4.2-07-2010 "Система менеджмента качества. Общие требования к построению, изложению и оформлению документов учебной деятельности"
2. Hex-Rays – Interactive Disassembler (IDA) (англ.) [Электронный ресурс]: hex-rays.com
3. FFmpeg - (англ.) [Электронный ресурс]: ffmpeg.org
4. Использование дифференциальной импульсно-кодовой модуляции для кодирования звука / Д. В. Дорошев // Исследования и разработки в области машиностроения, энергетики и управления : материалы VI Междунар. межвуз. науч.-техн. конф. студентов, магистрантов и аспирантов, Гомель, 4–5 мая 2006 г. / М-во образования Респ. Беларусь, Гомел. гос. техн. ун-т им. П. О. Сухого. – Гомель : ГГТУ им. П. О. Сухого, 2006. – С. 393 - 396.
5. G.723 – ITU-T: 40, 32, 24, 16 kbit/s Adaptive Differential Pulse Code Modulation (ADPCM)
6. Спилкер, Джеймс Дж. Цифровая спутниковая связь [Текст] / Пер. с англ. под ред. В.В. Маркова. - Москва : Связь, 1979. - 592 с.

ПРИЛОЖЕНИЕ А

Программный код: EA ADPCM codec.h

```
#pragma once

#include <string.h>
#include <iostream>

typedef unsigned char byte;

const int fixed_point_offset = 8;
const int fixp_exponent = 1 << fixed_point_offset;
/*
    S0 - prev-prev sample
    S1 - prev sample
    S2 - curr sample prediction
    dS = S1 - S0
*/

typedef int16_t table_type;
const table_type ea_adpcm_table_v2[][2] = {
    {(table_type)(0.000000*fixp_exponent), (table_type)(
0.000000*fixp_exponent)}, // S2 = 0
    silent, // also will used for high freq sound
    {(table_type)(0.937500*fixp_exponent), (table_type)(
0.000000*fixp_exponent)}, // S2 ~ = 0.94*S1
    slight fading, // also will used for high freq noise
    {(table_type)(1.796875*fixp_exponent), (table_type)(-
0.812500*fixp_exponent)}, // S2 ~ = S1 + dS*0.8 = S0 + dS*1.8
    follow trend, // commonly used for low freq sound with high sample rate
    {(table_type)(1.531250*fixp_exponent), (table_type)(-
0.859375*fixp_exponent)}, // S2 ~ = 0.67*S1 + 0.86*dS = 0.67*S0 + dS*1.53
};

#ifdef __GNUC__
#include <x86intrin.h>
#define _byteswap_ushort __builtin_bswap16
#else

#ifdef _MSC_VER
#define _byteswap_ushort(VAL) (uint16_t)( VAL >> 8 | VAL << 8)
#endif // !_MSC_VER

#endif

const int subchunks_in_XAS_chunk = 4;
```

```

const int samples_in_XAS_subchunk = 30;
const int samples_in_XAS_header = 2;
const int samples_in_XAS_per_subchunk = samples_in_XAS_subchunk +
samples_in_XAS_header; // but not IN subchunk

const int samples_in_EA_XA_R_chunk = 28;
const int sizeof_EA_XA_R1_chunk = 1 + 2*sizeof(int16_t) +
samples_in_EA_XA_R_chunk / 2;
const int sizeof_uncompr_EA_XA_R23_block = 1 + (samples_in_EA_XA_R_chunk +
2) * sizeof(int16_t);
const int sizeof_compr_EA_XA_R23_block = 1 + samples_in_EA_XA_R_chunk / 2;

#pragma pack(push, 1)

// for x86, x64 MSVC!

// size 4 bytes, 2 samples
// Little Endian
struct XAS_SubChunkHeader {
    unsigned coef_index : 2; // index for table for coeficien
    unsigned unused : 2; // must be 0
    signed sample_0 : 12;
    unsigned exp_shift : 4; // shift right, bits
    signed sample_1 : 12;
};

// MSVC thinking it's 4 bytes xD
struct SamplesByte {
    signed sample1 : 4;
    signed sample0 : 4;
};

struct SamplesDWORD {
    int16_t samples[2];
};

// size 76 bytes, 128 samples
struct XAS_Chunk {
    XAS_SubChunkHeader headers[subchunks_in_XAS_chunk]; // total size 16
bytes, 8 samples
    byte XAS_data[15][subchunks_in_XAS_chunk]; // data for each 2 samples
(1 bytes) interleaved, total size 60 bytes, 120 samples
};
#pragma pack(pop, 1)

#ifdef _MSC_VER

#include <intrin.h>

```

```

#define _memcpy(DST, SRC, _SIZE) __movsb((byte*)DST, (byte*)SRC, _SIZE)
#define _memset(DST, VAL, _SIZE) __stosb((byte*)DST, (byte)VAL, _SIZE)

#else // _MSC_VER

#define _memcpy memcpy
#define _memset memset

#endif

inline int16_t Get_s16be(const void* ptr) {
    return (short)_byteswap_ushort(*(unsigned short*)ptr);
}
inline int16_t bytestream2_get_le16s(byte** ptr) {
    short val = *(short**)ptr;
    *ptr += 2;
    return val;
}
inline char bytestream2_get_bytes(byte** ptr) {
    char val = *(char**)ptr;
    *ptr += 1;
    return val;
}
inline char low_sNibble(char _byte) {
    return (char)((byte)_byte << 4) >> 4;
}
inline int16_t Clip_int16(int val) {
#ifdef __SSE2__
    return _mm_cvtsi128_si32(_mm_packs_epi32(_mm_cvtsi32_si128(val),
    _mm_undefined_si128()));
#else
    return (val >= 0x7FFF) ? 0x7FFF : (val <= -0x8000) ? -0x8000 : val;
#endif // __SSE2__
}
inline char Clip_int4(char val) {
    if (val >= 7) return 7;
    if (val <= -8) return -8;
    return val;
}
inline int Clip_fix_p16(int val) {
    if (val >= (0x7FFF << fixed_point_offset)) return 0x7FFF <<
fixed_point_offset;
    if (val <= (-0x8000 << fixed_point_offset)) return -0x8000 <<
fixed_point_offset;
    return val;
}

```

ПРИЛОЖЕНИЕ Б

Программный код: EA_ADPCM_DLL.h

```
#pragma once
#include <stdint.h>

// #define _DEBUG

#ifdef _MSC_VER

#ifdef EAADPCMCODEC_EXPORTS
#define EAADPCMCODEC_API extern "C" __declspec(dllexport)
#else
#define EAADPCMCODEC_API extern "C" __declspec(dllimport)
#endif
#define CODEC_ABI __vectorcall

#else // _MSC_VER

#define EAADPCMCODEC_API
#define CODEC_ABI

#endif

EAADPCMCODEC_API
uint32_t CODEC_ABI GetXASEncodedSize(uint32_t n_samples_per_channel,
uint32_t n_channels);

EAADPCMCODEC_API
void CODEC_ABI decode_XAS(const void* in_XAS, int16_t* out_PCM, uint32_t
n_samples_per_channel, uint32_t n_channels);

EAADPCMCODEC_API
void CODEC_ABI encode_XAS(void* out_XAS, const int16_t* in_PCM, uint32_t
n_samples_per_channel, uint32_t n_channels);

EAADPCMCODEC_API
void CODEC_ABI decode_EA_XA_R2(const void* data, int16_t *out_PCM, uint32_t
n_samples_per_channel, uint32_t n_channels);

EAADPCMCODEC_API
size_t CODEC_ABI encode_EA_XA_R2(void* data, const int16_t PCM[], uint32_t
n_samples_per_channel, uint32_t n_channels, int16_t max_error = 10);

// #define BENCH

#ifdef BENCH
```

```
EAADPCM_CODEC_API
#ifdef _MSC_VER
void _cdecl Bench(uint32_t reps);
#endif
void CODEC_ABI Bench(uint32_t reps);

#endif // !BENCH
```

ПРИЛОЖЕНИЕ В

Программный код: EA-ADPCM-codec.cpp

```
#include "limits.h"

#include "vector_SIMD.h"

#include "EA ADPCM codec.h"
#include "EA_ADPCM_DLL.h"

#include <cassert>

#ifdef _DEBUG
#include <iostream>
#endif // _DEBUG

/*
  bias_compens
  EA-XA R2: not present in ffmpeg and SX, but present in NFS_abk_decode
  EA-XAS: presents in all known decoders (ffmpeg, NFS_abk_decoder(Carbon+))
*/
const int def_rounding = (fixp_exponent >> 1);

inline int16_t decode_XA_sample(const int16_t prev_samples[2], const
table_type coef[2], char int4, byte shift) {
  int correction = (int)int4 << shift;
  int prediction = prev_samples[1] * coef[0] + prev_samples[0] * coef[1];
  return Clip_int16((prediction + correction + def_rounding) >>
fixed_point_offset);
}

struct EncodedSample {
  int16_t decoded;
  char encoded;
};

inline EncodedSample encode_XA_sample(const int16_t prev_samples[2], const
table_type coef[2], int sample, byte shift) {
  int prediction = prev_samples[1] * coef[0] + prev_samples[0] * coef[1];

  int correction = (sample << fixed_point_offset) - prediction;

#ifdef _DEBUG__
  int shifted = correction >> shift;
  const int tr = 8;
  if (shifted > tr || shifted < -(tr + 1)) {
    shift = out_chunk->headers[j].exp_shift - 1;
  }
#endif
}
```

```

#ifdef _DEBUG
    printf("patch used for sample %d\n", pInSamples - in_PCM);
#endif
    // goto patch;
}
#endif

    int res;
    int rounding = 1 << (shift - 1);
    res = Clip_int4((correction + rounding) >> shift);

    int predecoded = ((res << shift) + prediction + def_rounding) >>
fixed_point_offset;
    int decoded = Clip_int16(predecoded);

    // ---- for better precision on clipping or near-clipping, this can be
removed
    int term = 1 << (shift - fixed_point_offset); // it's like +-1 to res
until >> fixed_point_offset
    int decoded2;
    decoded2 = Clip_int16(predecoded + term);
    if (res != 7 && abs(decoded - sample) > abs(decoded2 - sample)) {
        res += 1;
        decoded = decoded2;
    }
    else {
        decoded2 = Clip_int16(predecoded - term);
        if (res != -8 && abs(decoded - sample) > abs(decoded2 - sample)) {
            res -= 1;
            decoded = decoded2;
        }
    }
    // ----

    return { (int16_t)decoded, (char)res};
}

#define _GetNumXASChunks(N_SAMPLES) ((N_SAMPLES + 127) / 128)
// mb export?
uint32_t GetNumXASTotalChunks(uint32_t n_samples_per_channel, uint32_t
n_channels) {
    return n_channels * _GetNumXASChunks(n_samples_per_channel);
}

EAADPCMDEC_API
uint32_t GetXASEncodedSize(uint32_t n_samples_per_channel, uint32_t
n_channels) {
    return GetNumXASTotalChunks(n_samples_per_channel,
n_channels)*sizeof(XAS_Chunk);
}

```

```

}

void decode_XAS_Chunk(const XAS_Chunk* in_chunk, int16_t* out_PCM) {
    for (int j = 0; j < subchunks_in_XAS_chunk; j++) {
        int16_t *pSamples = out_PCM + j * 32;

        pSamples[0] = (in_chunk->headers[j].sample_0 << 4);
        int coef_index = in_chunk->headers[j].coef_index;

        pSamples[1] = (in_chunk->headers[j].sample_1 << 4);
        byte shift = 12 + fixed_point_offset - in_chunk->headers[j].exp_shift;

        const table_type* coef = ea_adpcm_table_v2[coef_index];

        for (int i = 0; i < 15; i++, pSamples += 2) {
            SamplesByte data = *(SamplesByte*)&(in_chunk->XAS_data[i][j]);

            pSamples[2] = decode_XA_sample(pSamples, coef, data.sample0, shift);
            pSamples[3] = decode_XA_sample(pSamples + 1, coef, data.sample1,
            shift);

#ifdef _DEBUG
            EncodedSample enc0 = encode_XA_sample(pSamples, coef, pSamples[2],
            shift);
            EncodedSample enc1 = encode_XA_sample(pSamples + 1, coef,
            pSamples[3], shift);
            if (enc0.encoded != data.sample0 || enc1.encoded != data.sample1) {
                printf(__FUNCTION__ " subchunk %d, byte %d: ", j, i);
                if (enc0.decoded != pSamples[2] || enc0.decoded != pSamples[3]) {
                    printf("reencode error \n");
                }
                else {
                    printf("loseless reencoding inequality \n");
                }
            }
#endif // _DEBUG
        }
    }
}

#ifdef __GNUC__
#define ALIGN(ALGN) __attribute__((aligned (ALGN)))
#else
#define ALIGN(ALGN)
#endif

void decode_XAS_Chunk_SIMD(const XAS_Chunk* in_chunk, int16_t* out_PCM) {
    vec128 head = LoadUnaligned(in_chunk->headers);
    static const table_type ea_adpcm_table_v3[][2] ALIGN(16) = {

```

```

    {(table_type)(0.000000*fixp_exponent),
(table_type)(0.000000*fixp_exponent)},
    {(table_type)(0.000000*fixp_exponent),
(table_type)(0.937500*fixp_exponent)},
    {(table_type)(-0.812500*fixp_exponent),
(table_type)(1.796875*fixp_exponent)},
    {(table_type)(-0.859375*fixp_exponent),
(table_type)(1.531250*fixp_exponent)},
};
static const int32_t const_shift[4] ALIGN(16) = {16 - fixed_point_offset,
16 - fixed_point_offset , 16 - fixed_point_offset , 16 - fixed_point_offset
};
static const uint8_t shuffle[16] ALIGN(16) = {12, 8, 4, 0, 13, 9, 5, 1,
14, 10, 6, 2, 15, 11, 7, 3};

uint32x4_t rounding = { GetOnes128() };

uint32x4_t coef_mask = rounding >> 30;
int32x4_t nibble_mask = rounding << 28;

rounding = (rounding >> 31 << (fixed_point_offset -
1)).SIMD_reinterpret_cast<uint32x4_t>();

int16x8_t samples = head.SIMD_reinterpret_cast<int16x8_t>();
samples = samples >> 4 << 4;

int32x4_t shift = { head };
shift = *(int32x4_t*)const_shift + ((shift <<
12).SIMD_reinterpret_cast<uint32x4_t>() >> 28);
int32x4_t coef_index = { head & coef_mask };
int16x8_t coefs = LoadByIndex(coef_index, (int*)
ea_adpcm_table_v3).SIMD_reinterpret_cast<int16x8_t>();

SaveWithStep(samples.SIMD_reinterpret_cast<int32x4_t>(),
(int32_t*)out_PCM, 16);

vec128 _shuffle = *(vec128*)shuffle;

for (int i = 0; i < 4; i++) {

    int32x4_t data = LoadUnaligned(&in_chunk-
>XAS_data[0][i*16]).SIMD_reinterpret_cast<int32x4_t>();

    data = PermuteByIndex(data,
_shuffle).SIMD_reinterpret_cast<int32x4_t>();

    int itrs = 4 - ((i + 1) >> 2); // i != 3 ? 4 : 3;

    for (int j = 0; j < itrs; j++) {

```

```

        for (int k = 0; k < 2; k++) {
            int32x4_t prediction = mul16_add32(samples, coefs);
            int32x4_t correction = (data &
nibble_mask).SIMD_reinterpret_cast<int32x4_t>() >> shift;

            int32x4_t predecode = (prediction + correction + rounding) >>
fixed_point_offset;

            int16x8_t decoded = Clip_int16(predecode);

            samples = { (samples.SIMD_reinterpret_cast<uint32x4_t>() >> 16) |
(((int32x4_t)(decoded.SIMD_reinterpret_cast<uint16x8_t>())) << 16) };

            data = data << 4;
        }
        SaveWithStep(samples.SIMD_reinterpret_cast<int32x4_t>(),
(int*)(out_PCM + i*8 + j*2 + 2), 16);
    }
}
#ifdef _DEBUG
int16_t PCM2[128];
decode_XAS_Chunk(in_chunk, PCM2);
if (memcmp(PCM2, out_PCM, 128 * 2) == 0) {
    printf("ok \n");
}
else {
    printf("not ok \n");
}
#endif // _DEBUG
}

#ifdef BENCH
void PrintRes(const char* mes, uint64_t time, uint64_t reps) {
    printf("%s: total = %llu, per chunk = %f \n", mes, time, (double)time /
reps);
}
void Bench(uint32_t reps) {
    XAS_Chunk in_chunk;
    int16_t PCM[128];
    uint64_t start = __rdtsc();
    for (uint64_t i = 0; i < reps; i++) {
        decode_XAS_Chunk(&in_chunk, PCM);
    }
    uint64_t SISD_time = __rdtsc() - start;
    start = __rdtsc();
    for (uint64_t i = 0; i < reps; i++) {
        decode_XAS_Chunk_SIMD(&in_chunk, PCM);
    }
    uint64_t SIMD_time = __rdtsc() - start;
}

```

```

    PrintRes("SISD", SISD_time, reps);
    PrintRes("SIMD", SIMD_time, reps);
}
#endif // BENCH

#define decode_XAS_Chunk decode_XAS_Chunk_SIMD

void decode_XAS(const void* in_data, int16_t* out_PCM, uint32_t
n_samples_per_channel, uint32_t n_channels) {
    if (n_samples_per_channel == 0)
        return;
    const XAS_Chunk* _in_data = (XAS_Chunk*)in_data;
    int16_t PCM[128];
    uint32_t n_chunks_per_channel = _GetNumXASChunks(n_samples_per_channel);
    for (int chunk_ind = 0; chunk_ind < n_chunks_per_channel - 1;
chunk_ind++) {
        for (int channel_ind = 0; channel_ind < n_channels; channel_ind++) {
            decode_XAS_Chunk(_in_data++, PCM);
            for (int sample_ind = 0; sample_ind < 128; sample_ind++) {
                out_PCM[channel_ind + sample_ind * n_channels] = PCM[sample_ind];
            }
        }
        out_PCM += 128 * n_channels;
    }
    uint32_t samples_remain_per_channel = n_samples_per_channel -
(n_chunks_per_channel-1)*128;
    for (int channel_ind = 0; channel_ind < n_channels; channel_ind++) {
        decode_XAS_Chunk(_in_data++, PCM);
        for (int sample_ind = 0; sample_ind < samples_remain_per_channel;
sample_ind++) {
            out_PCM[channel_ind + sample_ind * n_channels] = PCM[sample_ind];
        }
    }
}

// ~same method as in SX but with fixed point
int simple_CalcCoefShift(const int16_t* pSamples, const int16_t
in_prevSamples[2], int num_samples, int *out_coef_index, byte* out_shift) {
    // SX using clip here

    const int num_coefs = 4;

    int min_max_error = INT_MAX;
    int s_min_max_error = INT_MAX; // don't need I think
    int best_coef_ind = 0;
    for (int coef_ind = 0; coef_ind < num_coefs; coef_ind++) {
        int16_t prevSamples[2] = { in_prevSamples[0], in_prevSamples[1] };
        // fixed point 24.8

```

```

// for coef_ind = 0 max_error = max abs sample
int max_error = 0;
int s_max_error = 0;
for (int i = 0; i < num_samples; i++) {
    int prediction = ea_adpcm_table_v2[coef_ind][0] * prevSamples[1] +
ea_adpcm_table_v2[coef_ind][1] * prevSamples[0];
    int sample = pSamples[i];
    sample <<= fixed_point_offset;
    int s_error = sample - prediction;
    int error = abs(s_error);
    if (error > max_error) {
        max_error = error;
        s_max_error = s_error;
    }
    prevSamples[0] = prevSamples[1];
    prevSamples[1] = pSamples[i];
}
if (max_error < min_max_error) {
    min_max_error = max_error;
    best_coef_ind = coef_ind;
    s_min_max_error = s_max_error;
}
}
int max_min_error_i16 = Clip_int16(min_max_error >> fixed_point_offset);

int mask = 0x4000;
int exp_shift;
for (exp_shift = 0; exp_shift < 12; exp_shift++) {
    if (((mask >> 3) + max_min_error_i16) & mask) != 0) {
        break;
    }
    mask >>= 1;
}
*out_coef_index = best_coef_ind;
*out_shift = exp_shift;
return max_min_error_i16;
}

```

```
const int shift4_rounding = 0x8 - 1;
```

```
void encode_XAS_Chunk(XAS_Chunk* out_chunk, const int16_t in_PCM[128] /*,
size_t nSamples = 128*/) {
    //assert(nSamples <= 128);
    for (int j = 0; j < subchunks_in_XAS_chunk; j++) {

        const int16_t *pInSamples = in_PCM + j * 32;

        out_chunk->headers[j].unused = 0;
    }
}

```

```

out_chunk->headers[j].sample_0 = (pInSamples[0] + shift4_rounding) >>
4;
out_chunk->headers[j].sample_1 = (pInSamples[1] + shift4_rounding) >>
4;

int16_t decoded_PCM[32];
decoded_PCM[0] = out_chunk->headers[j].sample_0 << 4;
decoded_PCM[1] = out_chunk->headers[j].sample_1 << 4;

int coef_index;
byte shift;
simple_CalcCoefShift(pInSamples + 2, decoded_PCM, 30, &coef_index,
&shift);
patch:
out_chunk->headers[j].coef_index = coef_index;
out_chunk->headers[j].exp_shift = shift;

const table_type *coef = ea_adpcm_table_v2[coef_index];
shift = 12 + fixed_point_offset - shift;

int16_t *pDecodedSamples = decoded_PCM;

for (int i = 0; i < 15; i++) {
    byte data = 0;

    for (int n = 0; n < 2; n++) {
        EncodedSample enc = encode_XA_sample(pDecodedSamples, coef,
pInSamples[2], shift);

        pDecodedSamples[2] = enc.decoded; // think as decoder will for
better precision
        data <<= 4;
        data |= enc.encoded & 0xF;
        pInSamples++, pDecodedSamples++;
    }
    out_chunk->XAS_data[i][j] = data;
}
}
}

void encode_XAS(void* out_data, const int16_t* in_PCM, uint32_t
n_samples_per_channel, uint32_t n_channels) {
    if (n_samples_per_channel == 0)
        return;
    XAS_Chunk* _out_data = (XAS_Chunk*)out_data;
    uint32_t n_chunks_per_channel = _GetNumXASChunks(n_samples_per_channel);
    int16_t PCM[128];
#pragma nounroll

```

```

    for (int chunk_ind = 0; chunk_ind < n_chunks_per_channel - 1;
        chunk_ind++) {
        for (int channel_ind = 0; channel_ind < n_channels; channel_ind++) {
            const int16_t* t = in_PCM + channel_ind;
            for (int sample_ind = 0; sample_ind < 128; sample_ind++, t +=
n_channels) {
                PCM[sample_ind] = *t;
            }
            encode_XAS_Chunk(_out_data++, PCM);
        }
        in_PCM += 128 * n_channels;
    }
    uint32_t samples_remain_per_channel = n_samples_per_channel -
(n_chunks_per_channel - 1) * 128;
    for (int channel_ind = 0; channel_ind < n_channels; channel_ind++) {
        for (int sample_ind = 0; sample_ind < samples_remain_per_channel;
sample_ind++) {
            PCM[sample_ind] = in_PCM[channel_ind + sample_ind * n_channels];
        }
        _memset(PCM + samples_remain_per_channel, 0, (128 -
samples_remain_per_channel)*sizeof(int16_t));
        encode_XAS_Chunk(_out_data++, PCM);
    }
}

```

```

// processing 28 samples, returns number of bytes read (61 or 15)
size_t decode_EA_XA_R2_Chunk(const byte* XA_Chunk, int16_t out_PCM[28],
int16_t prev_samples[3]) {
    const byte* p_curr_byte = XA_Chunk;
    int16_t *pSample = out_PCM;
    byte _byte = *(p_curr_byte++);
    int16_t* p_prev_samples = prev_samples;
    if (_byte == 0xEE) {
        prev_samples[1] = Get_s16be(p_curr_byte), p_curr_byte += 2;
        prev_samples[0] = Get_s16be(p_curr_byte), p_curr_byte += 2;
        for (int i = 0; i < samples_in_EA_XA_R_chunk; i++)
            *(pSample++) = Get_s16be(p_curr_byte), p_curr_byte += 2;
    }
    else {
        int coef_index = _byte >> 4;
        const table_type *coef = ea_adpcm_table_v2[coef_index];
        byte shift = 12 + fixed_point_offset - (_byte & 0xF);
        for (int j = 0; j < samples_in_EA_XA_R_chunk / 2; j++) {
            SamplesByte data = *(SamplesByte*)(p_curr_byte++);

            pSample[0] = decode_XA_sample(p_prev_samples, coef, data.sample0,
shift);

```

```

        prev_samples[2] = pSample[0]; // in case of p_prev_samples ==
prev_samples
        pSample[1] = decode_XA_sample(p_prev_samples + 1, coef,
data.sample1, shift);

#ifdef _DEBUG
        EncodedSample enc = encode_XA_sample(p_prev_samples + 1, coef,
pSample[1], shift);
        if (enc.encoded != data.sample1) {
            printf(
                "Reencoding issue:\n"
                "    source sample = %d (0x%X)\n"
                "reencoded sample = %d (0x%X)\n"
                "    source nibble = %d (0x%X)"
                "reencoded nibble = %d (0x%X)\n\n",
                (int)pSample[1], (int)pSample[1], (int)enc.decoded,
(int)enc.decoded,
                (int)data.sample1, (int)data.sample1, (int)enc.encoded,
(int)enc.encoded);
        }
#endif // _DEBUG

        p_prev_samples = pSample;
        pSample += 2;
    }
    prev_samples[1] = pSample[-1];
    prev_samples[0] = pSample[-2];
}

return p_curr_byte - XA_Chunk;
}

void decode_EA_XA_R2(const void* data, int16_t *out_PCM, uint32_t
n_samples_per_channel, uint32_t n_channels) {
    // TODO: multi channel
    byte *_data = (byte*)data;
    int16_t prev_samples[3] = { 0 };
    int num_chunks = (n_samples_per_channel + 27) / 28;
    for (int i = 0; i < num_chunks; i++) {
        size_t data_decoded_size = decode_EA_XA_R2_Chunk(_data, out_PCM,
prev_samples);
#ifdef _DEBUG
        if (data_decoded_size != sizeof_uncompr_EA_XA_R23_block
&& data_decoded_size != sizeof_compr_EA_XA_R23_block) {
            printf("Warning: decoded %d bytes\n", data_decoded_size);
            system("pause");
        }
#endif // _DEBUG
}
}

```

```

        _data += data_decoded_size;
    out_PCM += samples_in_EA_XA_R_chunk;
}
}

void encode_EA_XA_R2_chunk_nocompr(byte
data[sizeof_uncompr_EA_XA_R23_block], const int16_t PCM[28], int16_t
prev[2], int nChannels) {
    *data = 0xEE;
    *(int16_t*)(data + 1) = _byteswap_ushort(PCM[26*nChannels]);
    *(int16_t*)(data + 3) = _byteswap_ushort(PCM[27*nChannels]);
    prev[0] = PCM[26*nChannels];
    prev[1] = PCM[27*nChannels];
    int16_t* pOutData = (int16_t*)(data + 5);
    for (int i = 0; i < 28*nChannels; i+=nChannels) {
        pOutData[i] = _byteswap_ushort(PCM[i]);
    }
}

void encode_EA_XA_block(byte data[], const int16_t PCM[], int16_t prev[2],
int samples, int PCM_step, const table_type* coefs, byte shift, int
data_step = 1){
    for (int i = 0; i < samples/2; i++){
        byte _data = 0;
        for (int j = 0; j < 2; j++){
            EncodedSample enc = encode_XA_sample(prev, coefs, PCM[(i*2 +
j)*PCM_step], shift);
            prev[0] = prev[1];
            prev[1] = enc.decoded;
            _data <<= 4;
            _data |= enc.encoded;
        }
        *data = _data;
        data += data_step;
    }
}

size_t encode_EA_XA_R2_chunk(byte data[sizeof_uncompr_EA_XA_R23_block],
const int16_t PCM[28], int16_t prev[2], int nChannels, int16_t max_error) {
    int coef_index;
    byte shift;
    int err = simple_CalcCoefShift(PCM, prev, 28, &coef_index, &shift);
    if (err > max_error){
        encode_EA_XA_R2_chunk_nocompr(data, PCM, prev, nChannels);
        return sizeof_uncompr_EA_XA_R23_block;
    }
    else {
        *data++ = coef_index << 4 | shift;
        shift = 12 + fixed_point_offset - shift;
    }
}

```

```

        const table_type * coefs = ea_adpcm_table_v2[coef_index];
        encode_EA_XA_block(data, PCM, prev, 28, nChannels, coefs, shift);
        return sizeof_compr_EA_XA_R23_block;
    }
}

void encode_EA_XA_R1_chunk(byte data[sizeof_EA_XA_R1_chunk], const int16_t
PCM[28], const int16_t prev[2], int nChannels) {
    *(int16_t*)data = _byteswap_ushort(prev[0]);
    *(int16_t*)(data + 2) = _byteswap_ushort(prev[1]); // ?
    int coef_index;
    byte shift;
    simple_CalcCoefShift(PCM, prev, 28, &coef_index, &shift);
    data[4] = coef_index << 4 | shift;
    int16_t _prev[2]; memcpy(_prev, prev, 4);
    encode_EA_XA_block(data + 5, PCM, _prev, 28, nChannels,
ea_adpcm_table_v2[coef_index], 12 + fixed_point_offset - shift);
}

size_t encode_EA_XA_R2_channel(void* data, const int16_t PCM[], uint32_t
n_samples_per_channel, uint32_t n_channels, int16_t max_error) {
    int chunks_per_channel = (n_samples_per_channel + 27) / 28;
    int16_t prev[2];
    byte* curr_data = (byte*)data;
    encode_EA_XA_R2_chunk_nocompr(curr_data, PCM, prev, (int)n_channels);
    curr_data += sizeof_uncompr_EA_XA_R23_block;
    for (int chunk_ind = 1; chunk_ind < chunks_per_channel; chunk_ind++){
        curr_data += encode_EA_XA_R2_chunk(curr_data, PCM +
28*chunk_ind*n_channels, prev, n_channels, max_error);
    }
    return curr_data - (byte*)data;
}

size_t encode_EA_XA_R2(void* data, const int16_t PCM[], uint32_t
n_samples_per_channel, uint32_t n_channels, int16_t max_error) {
    byte* curr_data = (byte*)data;
    for (int chan_ind = 0; chan_ind < n_channels; chan_ind++){
        curr_data += encode_EA_XA_R2_channel(curr_data, PCM + chan_ind,
n_samples_per_channel, n_channels, max_error);
    }
    return curr_data - (byte*)data;
}

```

Министерство науки и высшего образования РФ
Федеральное государственное автономное
образовательное учреждение высшего образования
«СИБИРСКИЙ ФЕДЕРАЛЬНЫЙ УНИВЕРСИТЕТ»
Институт космических и информационных технологий
Кафедра вычислительной техники

УТВЕРЖДАЮ
Заведующий кафедрой


_____ О.В.Непомнящий

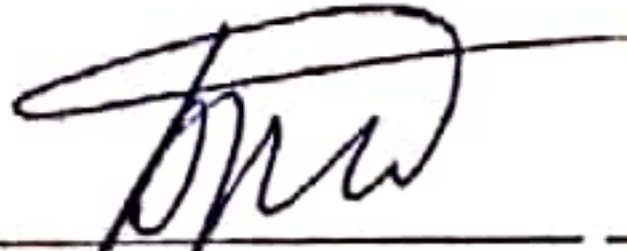
« 20 » _____ 06 _____ 2022 г.

БАКАЛАВРСКАЯ РАБОТА

09.03.01 «Информатика и вычислительная техника»

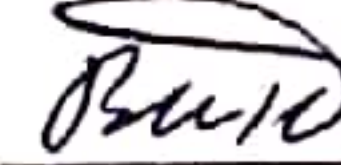
**Разработка и исследование голосового кодека
для возможности применения в спутниковой связи**

Руководитель



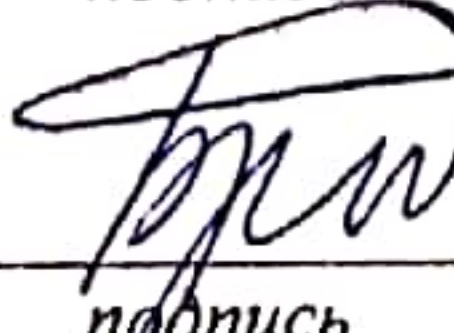
проф., д-р техн. наук С. А. Бронов
должность, ученая степень

Выпускник



П. В. Винокуров

Нормоконтролер



проф., д-р техн. наук С. А. Бронов
должность, ученая степень

Красноярск 2022